

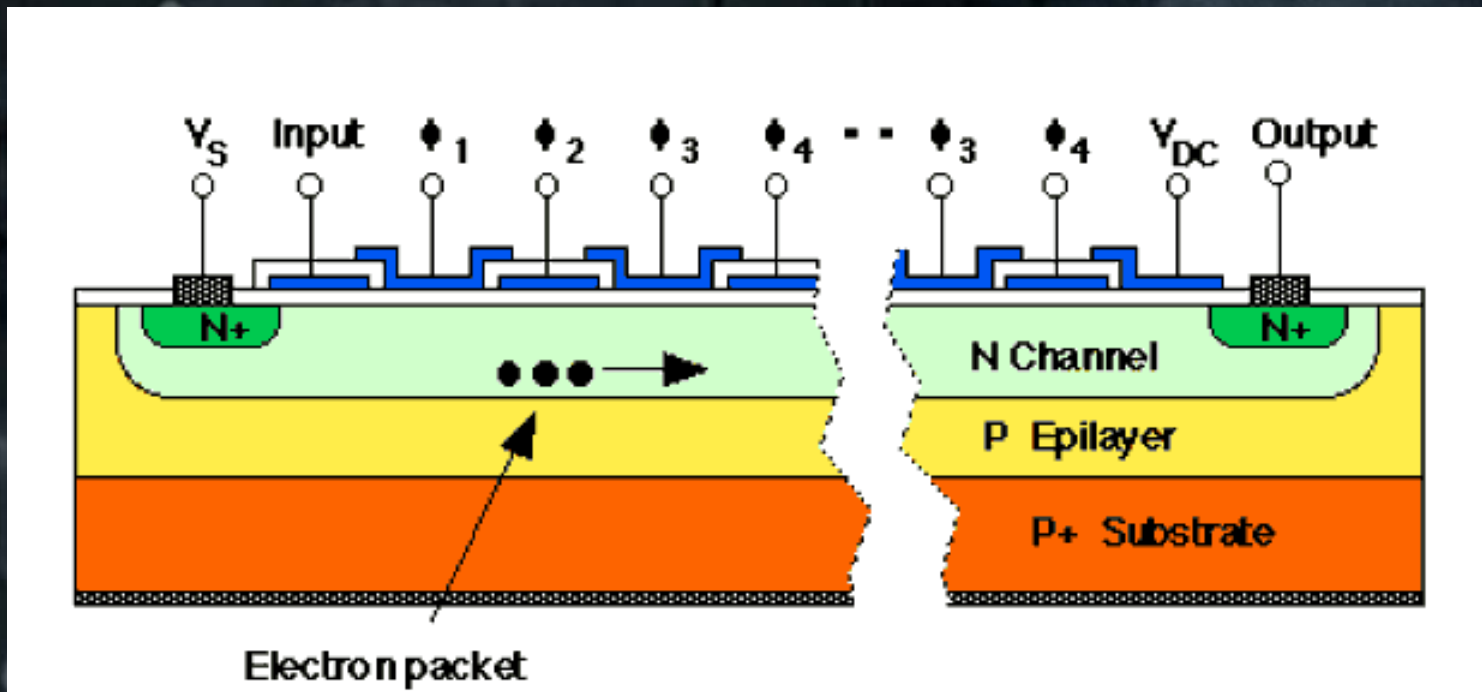
# CCD

## karakteristike detektora i primena

Igor Smolić  
[igor.smolic@scl.rs](mailto:igor.smolic@scl.rs)

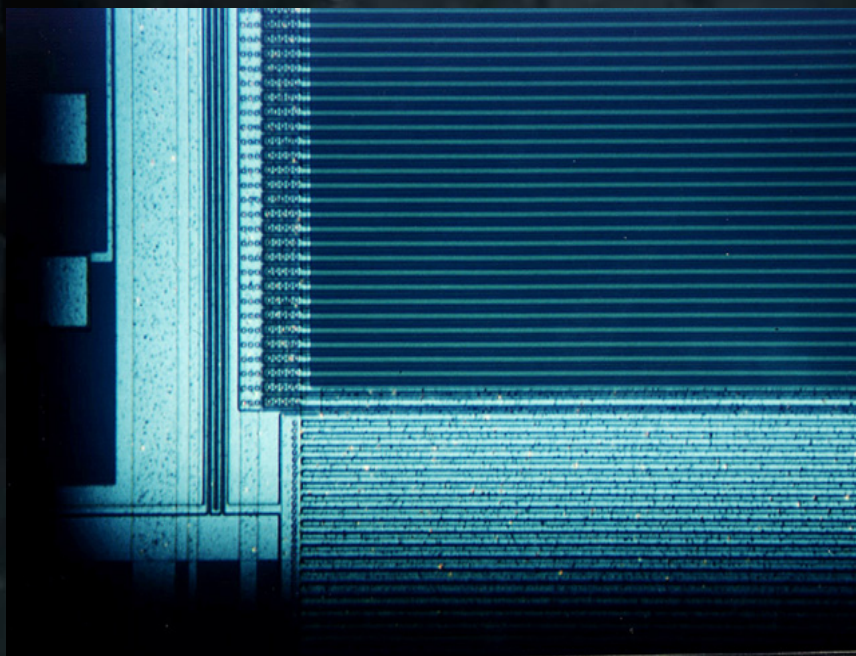
# CCD detektor

- Poluprovodnički (Si) detektor
- Producija šupljina -  $e^-$



# CCD - matrica piksela

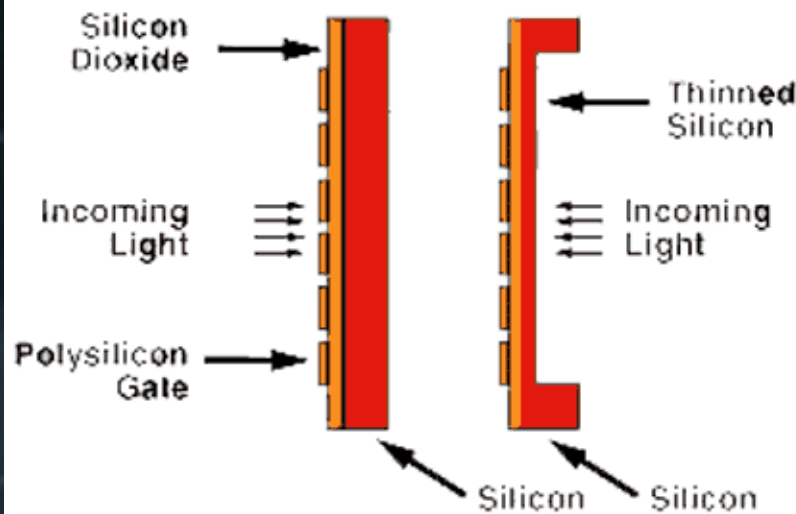
- Matrica fotoosetljivih elemenata – piksela
- Očitavanje piksela – AD konvertor



# Tipovi CCD detektora

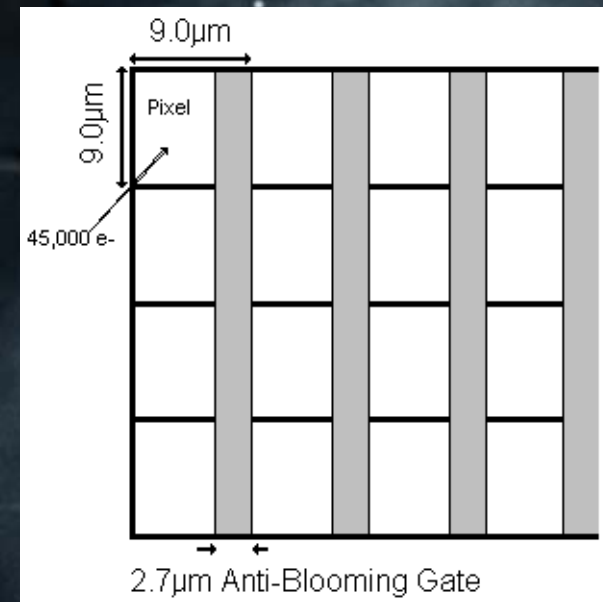
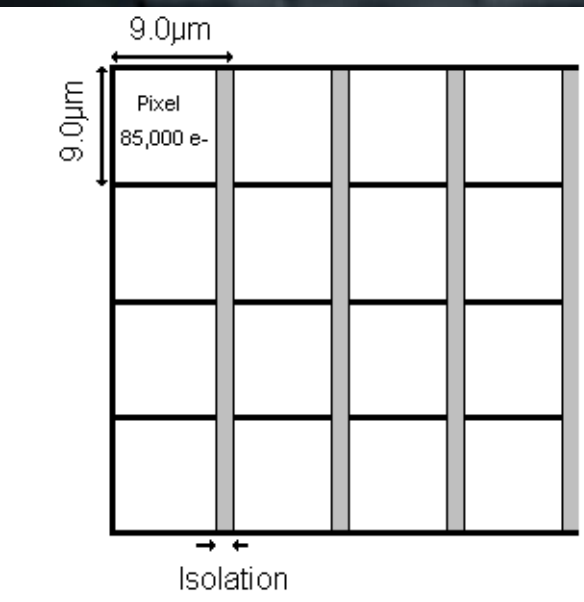
- Front illuminated
- Back illuminated

## Front and Backside Illuminated CCDs



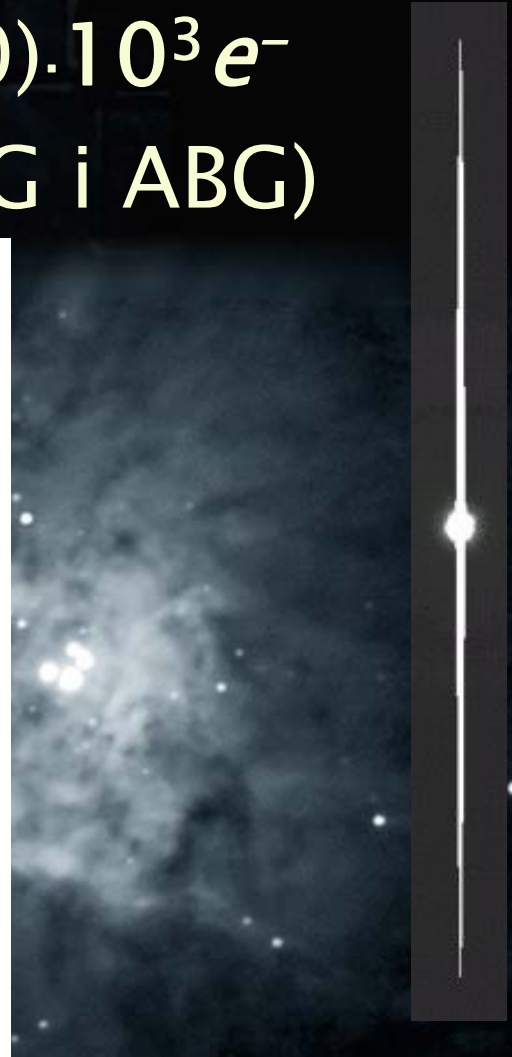
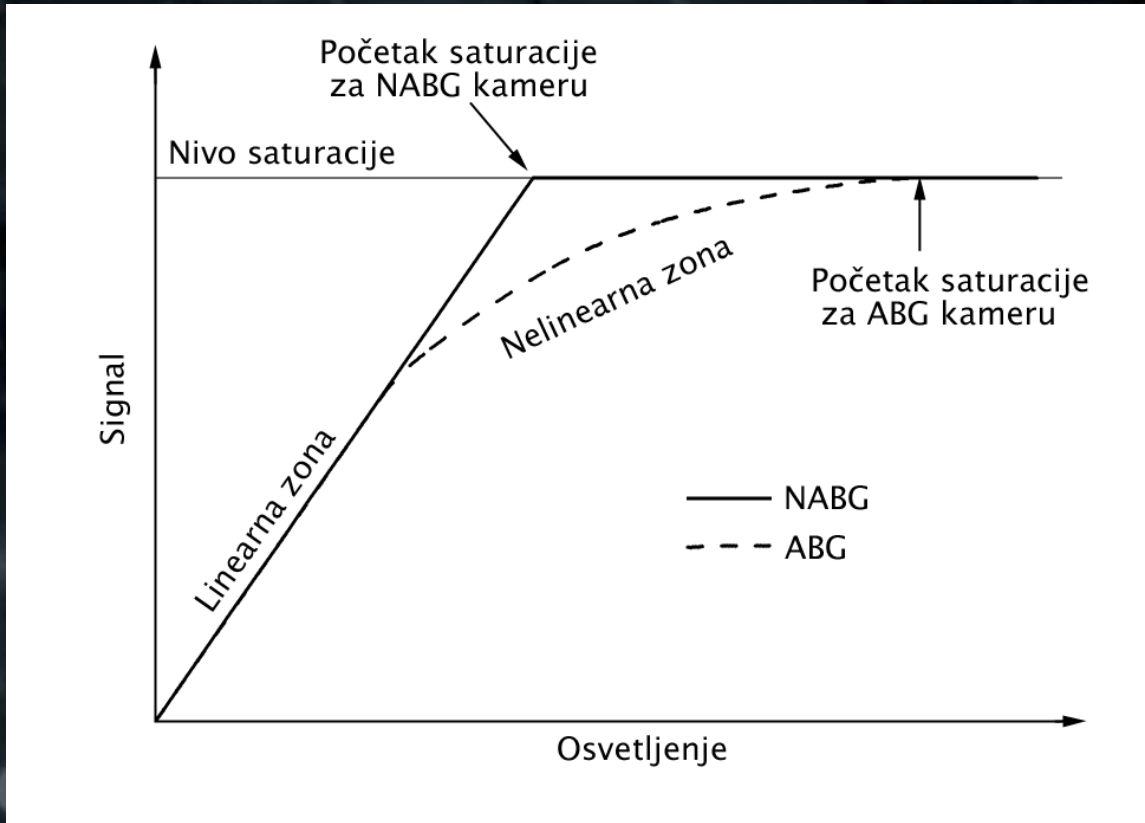
# Geometrijske karakteristike

- 1-D i 2-D čipovi
- Dimenzije čipa i piksela
- Osetljiva i mrtva zona piksela



# Linearost detektora

- Kapacitet piksela -  $(40-300) \cdot 10^3 e^-$
- Non- i Antiblooming (NABG i ABG)



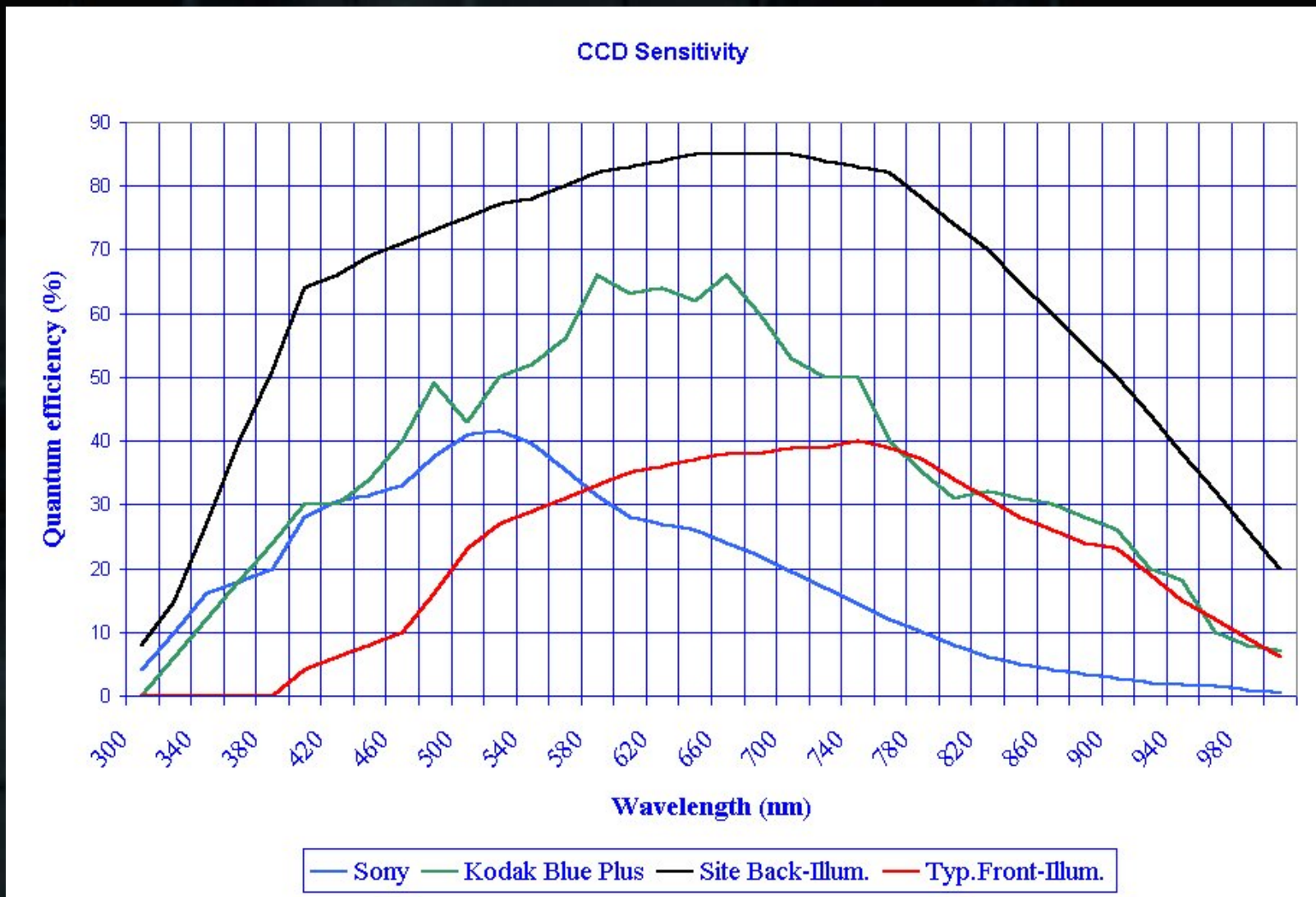
# Kvantna efikasnost ( $QE$ )

- Definicija:

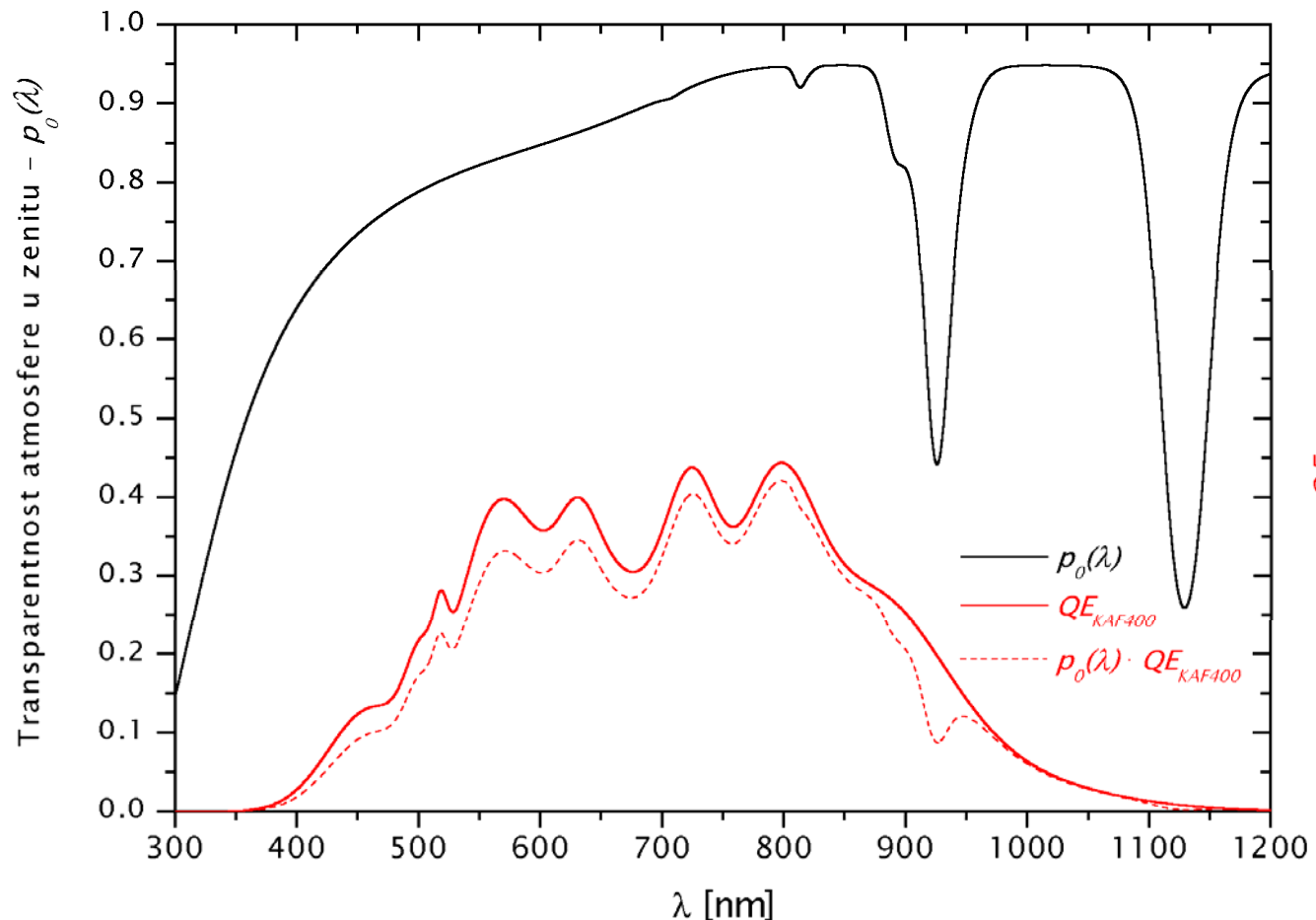
$$QE(\lambda) = \frac{N_{\text{detektovanih fotona}}}{N_{\text{upadnih fotona}}}$$

$$N_{\text{detektovanih fotona}} = Ne^-$$

# Tipične $QE(\lambda)$



# Optički prozor i QE



# Tipovi frame-ova (slika)

- Bias frame
- Light frame
- Dark frame
- Flat field frame

# Bias frame

- U pikselima ostaje mali broj  $e^-$  ( $\sim 200 e^-$ )
- Izbegavanje nelinearnog režima u slučaju malog intenziteta izvora
- Konstantan – ne zavisi od  $T$ ,  $t_{exp}$

# Light frame

- (Signal + šum) izvora i neba
- Dodatni (signal + šum) elektronike

# Dark frame

- Termalna emisija elektrona
- Intenzitet emisije:

$$i_{Te^-} \approx A \cdot \exp^{bT} [e^-/\text{pix/s}]$$

- Hlađenje Peltier elementom
- Za svakih  $-6^{\circ}\text{C}$ ,  $i_{Te^-}$  se prepolovi
- Tipična vrednost  $0.1 - 0.2 e^-/\text{pix/s}$  na  $-20^{\circ}\text{C}$

# Defekti čipa

- Defektni pikseli – “vrući” i “mrtvi”
  - “vrući” – pojačana termalna emisija  $e^-$
- Defektne kolone
  - niža  $QE$

# Šum kod slučajnih procesa

- $\sigma$  za Poisson-ovu raspodelu:

$$N = \sqrt{S}$$

- Sabiranje nekorelisanih šumova:

$$N_u^2 = \sum_i N_i^2$$

- Mera kvaliteta signala - odnos signala prema šumu  $S/N$

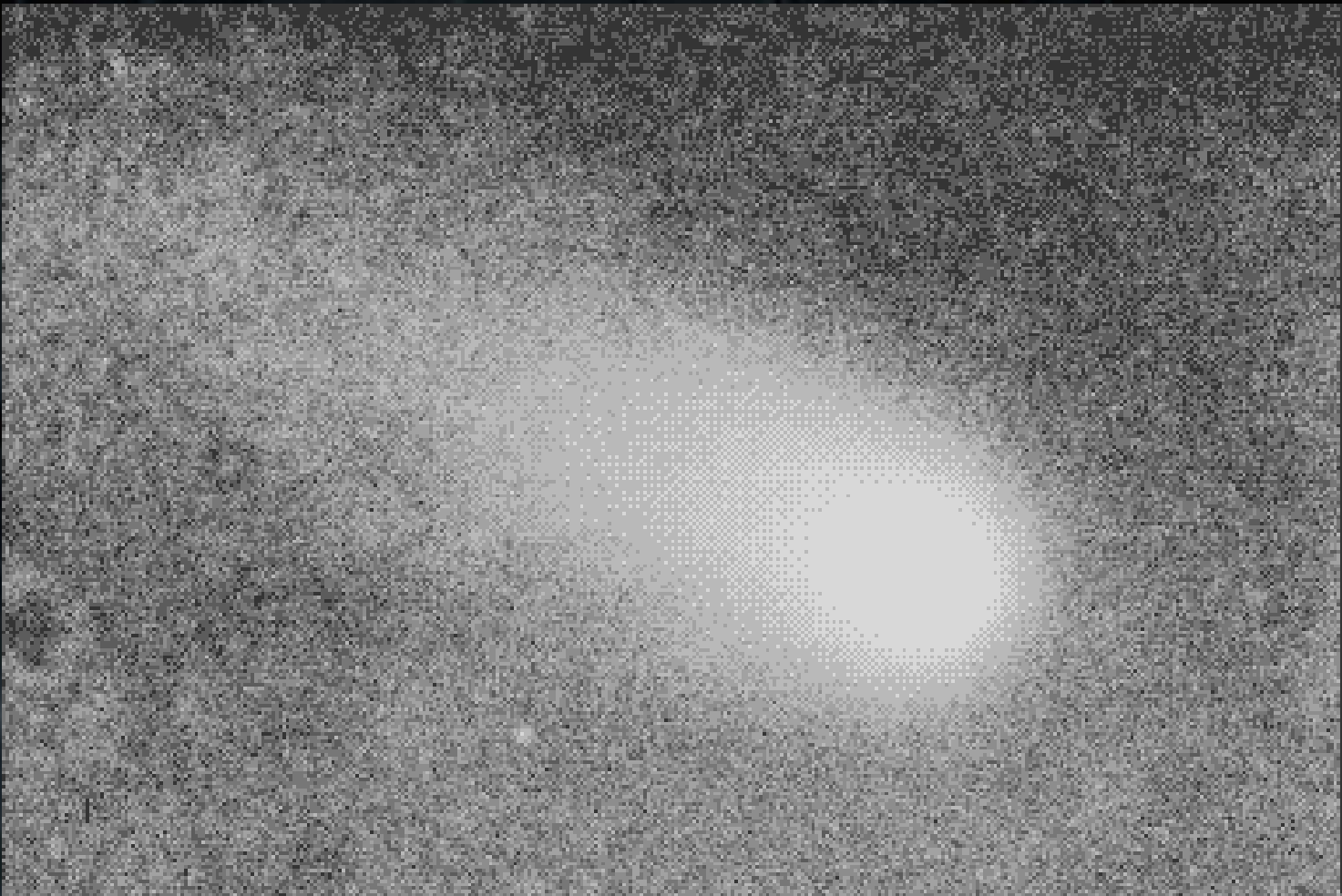
# Izvori šuma

- Svetlosni izvor -> Fotonski šum
- Termalna emisija -> Termalni šum
- AD konvertor -> Read-out šum  
(šum očitavanja)

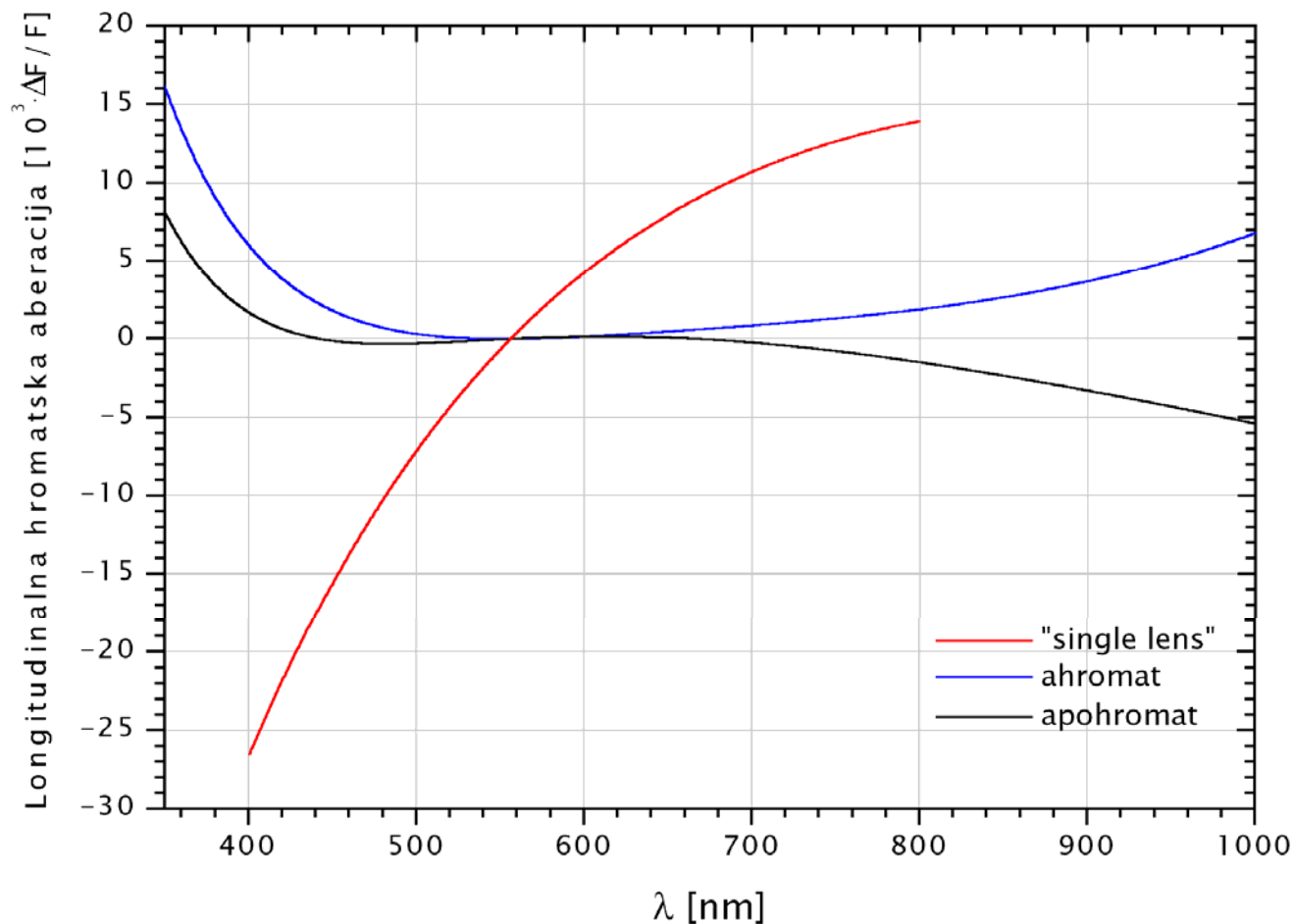
# Redukcija šuma

- Fotonski šum -  $N_{h\nu} \propto \sqrt{t_{\text{exp}}}$
- Termalni šum -  $N_{Te^-} \propto \sqrt{\exp^{bT} \cdot t_{\text{exp}}}$
- Šum očitavanja je konstantan  
5 – 50 e<sup>-</sup>/pix

# Kondezacija na čipu



# Hromatska aberacija



# Pojam flat field-a

- Razlike u osetljivosti susednih piksela  $\sim 1\%$
- Razlike u osetljivostljivosti zona čipa  $\sim 5 - 10\%$
- Mehaničke nečistoće – prašina i mrlje
- Neravnomerno osvetljenje u fokalnoj ravni usled vinjetiranja  $\sim 1/\cos^{n>4}\omega$

# Snimanje flat field-a I

- Izvori ravnomerne osvetljenosti:
  - Sumraci
  - Unutrašnjost opservatorije/laboratorije
  - Light-box

# Snimanje flat field-a II

- Kriterijum za ekspoziciju:
  - maksimalna popunjenoš (u linearnom režimu, tj. 2/3 do nivoa saturacije)
  - idealno jednako ili značajno duže od vremena otvaranja/zatvaranja okidača ( $t > 0.5\text{s}$ )
- Važno!!! Ne menjati konfiguraciju teleskopa/objektiva i kamere između ( i u toku) posmatranja i snimanja flat field-a

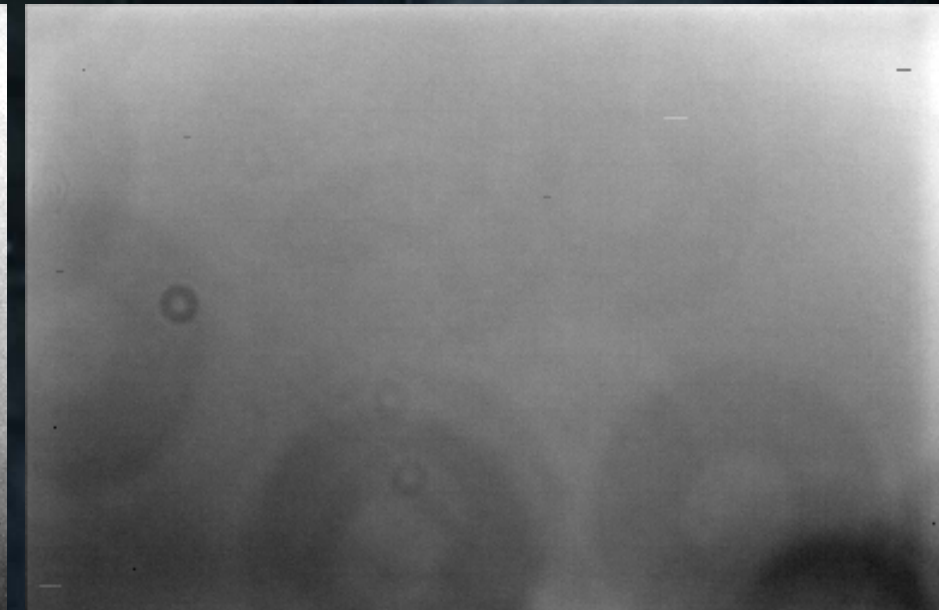
# Kvalitet flat field-a

jedna slika

18 usrednjениh slika



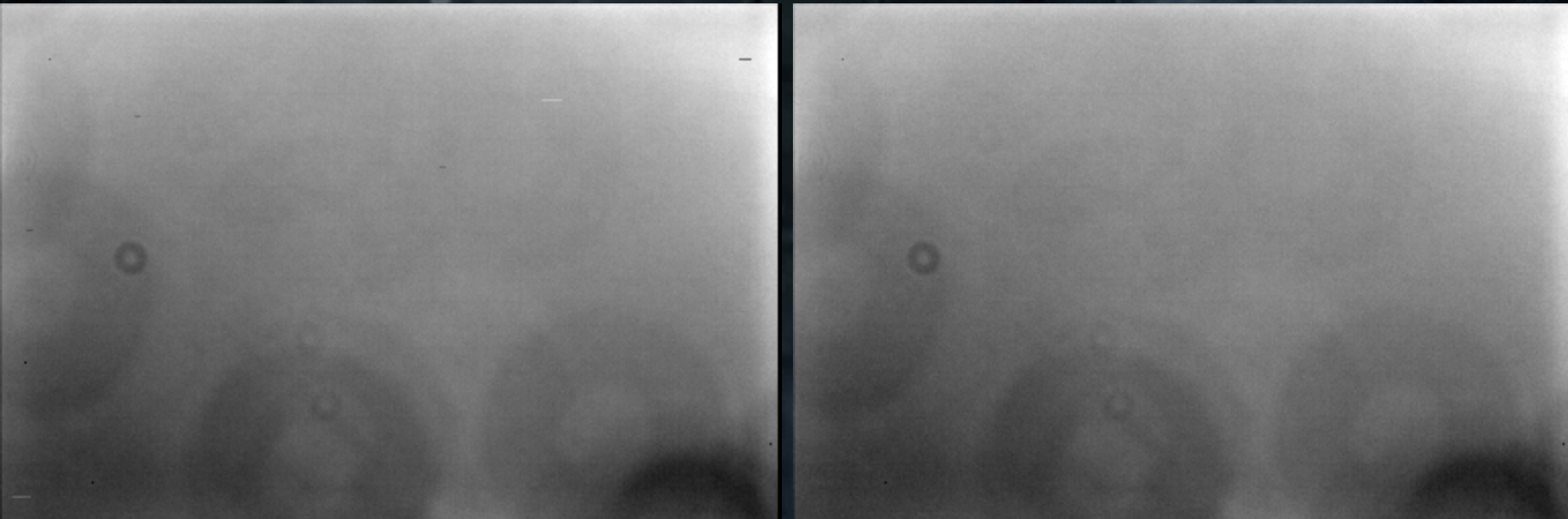
$S/N = 330$



$S/N = 1400$

# Aritmetička sredina ili medijana?

- Medijana uklanja “sporadične” pojave (kosmički zraci i problemi sa elektronikom)



18 usrednjениh slika

medijana 18 slika

# Osnovna obrada snimka

- Korekcija light frame-a za termalnu emisiju i razlike u osetljivosti piksela

$$L_{corr} = \frac{(L - D_L)}{(F - D_F)} \cdot \overline{(F - D_F)}$$

# Rezultujući šum za jedan piksel

- U slučaju “savršenog” flat field-a:

$$N_u^2 = N_*^2 + N_{sky}^2 + 2N_{Te^-}^2 + 2N_{read}^2$$

- U slučaju i “savršenog” dark frame-a:

$$N_u^2 = N_*^2 + N_{sky}^2 + N_{Te^-}^2 + N_{read}^2$$

# Odnos signala prema šumu

- U slučaju “savršenog”  $D$  i  $F$ :

$$S_*/N_u = S_* / \sqrt{S_* + S_{sky} + N_{Te}^2 + N_{read}^2}$$

- Maksimalni (teorijski)  $S_*/N_u$ :

$$S_*/N_u = \sqrt{S_*} \propto \sqrt{t_{\text{exp}}}$$

# Računanje dostignute magnitude

- Signal od izvora u zenitu:

$$S_* = A \cdot t_{\text{exp}} \cdot \int_0^{+\infty} W \cdot Q_E \cdot \tau \cdot p_0 \cdot s \cdot d\lambda$$

$$S_{V=0^m} \approx 1000 \text{ phot/cm}^2 \text{ s} \text{\AA}$$

$$\tau \approx 0.95^n$$

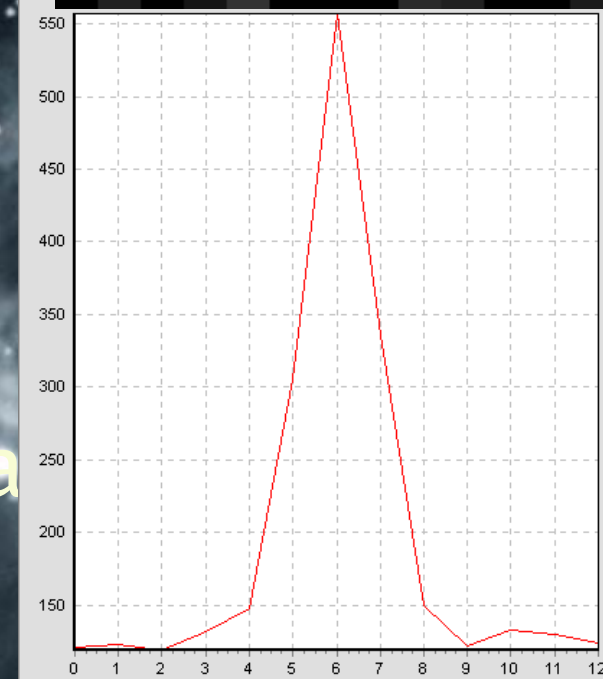
$n$  - broj optičkih površina u sistemu

# Kriterijum za detekciju

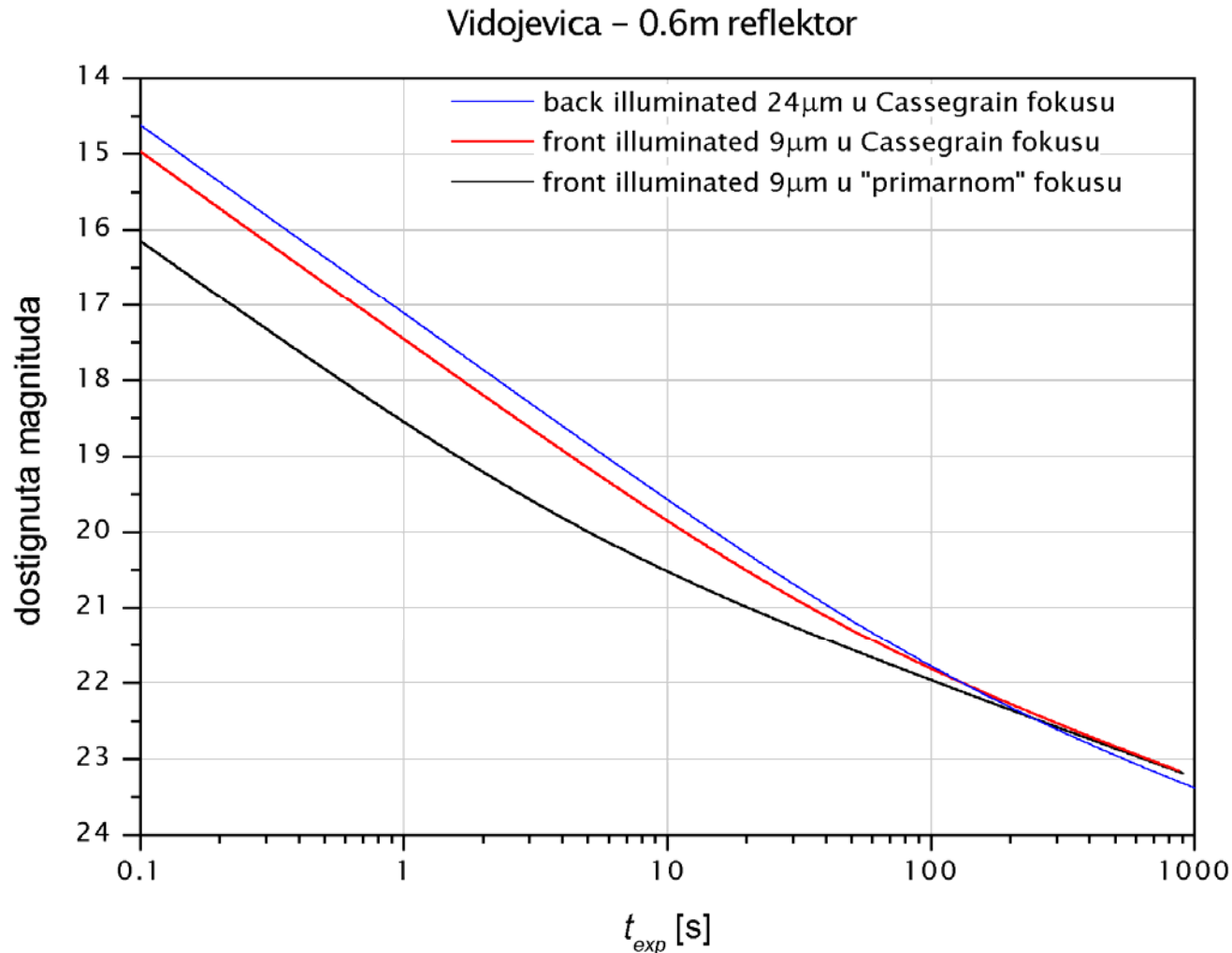
- $S_*/N_u = 5$
- Nyquist-ova teorema:

$$\theta_{\text{sample}} = 0.5 \cdot \text{FWHM}$$

- ~95%  $S_*$  na 3x3 piksela



# Vidojevica - 0.6m reflektor



# Merenje položaja

- Centar lika objekta ( $x_c$ ,  $y_c$ ):

$$x_c = \frac{\sum_{i=1}^N i \cdot x_i}{\sum_{i=1}^N i}$$

$$y_c = \frac{\sum_{i=1}^N i \cdot y_i}{\sum_{i=1}^N i}$$

# Fotometrija

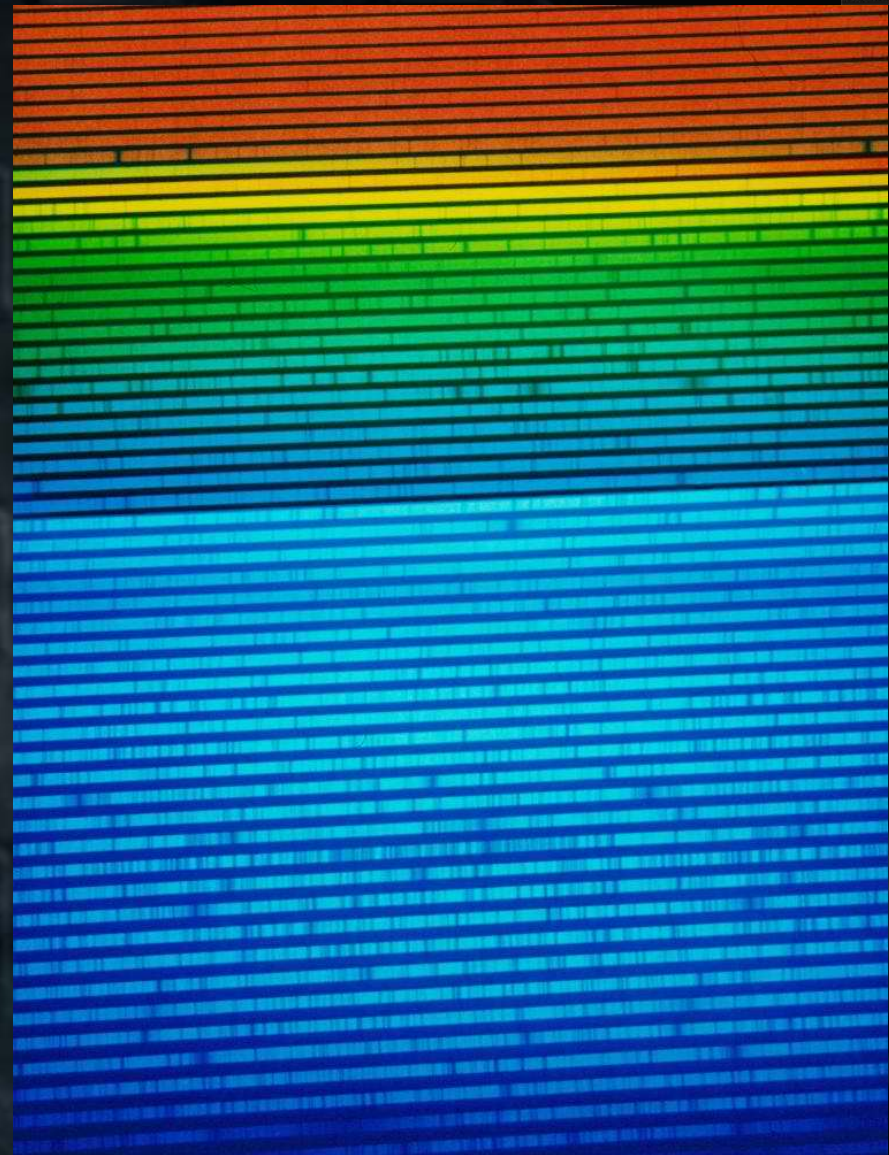
- Apsolutna i diferencijalna (relativna)
- Diferencijalna fotometrija u polju

$$(I_1/I_2)_0 = (I_1/I_2)_{\text{obs}}$$

# Spektrografija

- Visoka  $QE$ , visok  $S/N$   
(usrednjavanjem više slika  $S/N > 1000$ )
- 1-D i 2-D čipovi
- Echele spektroskopija (visoke rezolucije)

# Echele spektrogram Sunca



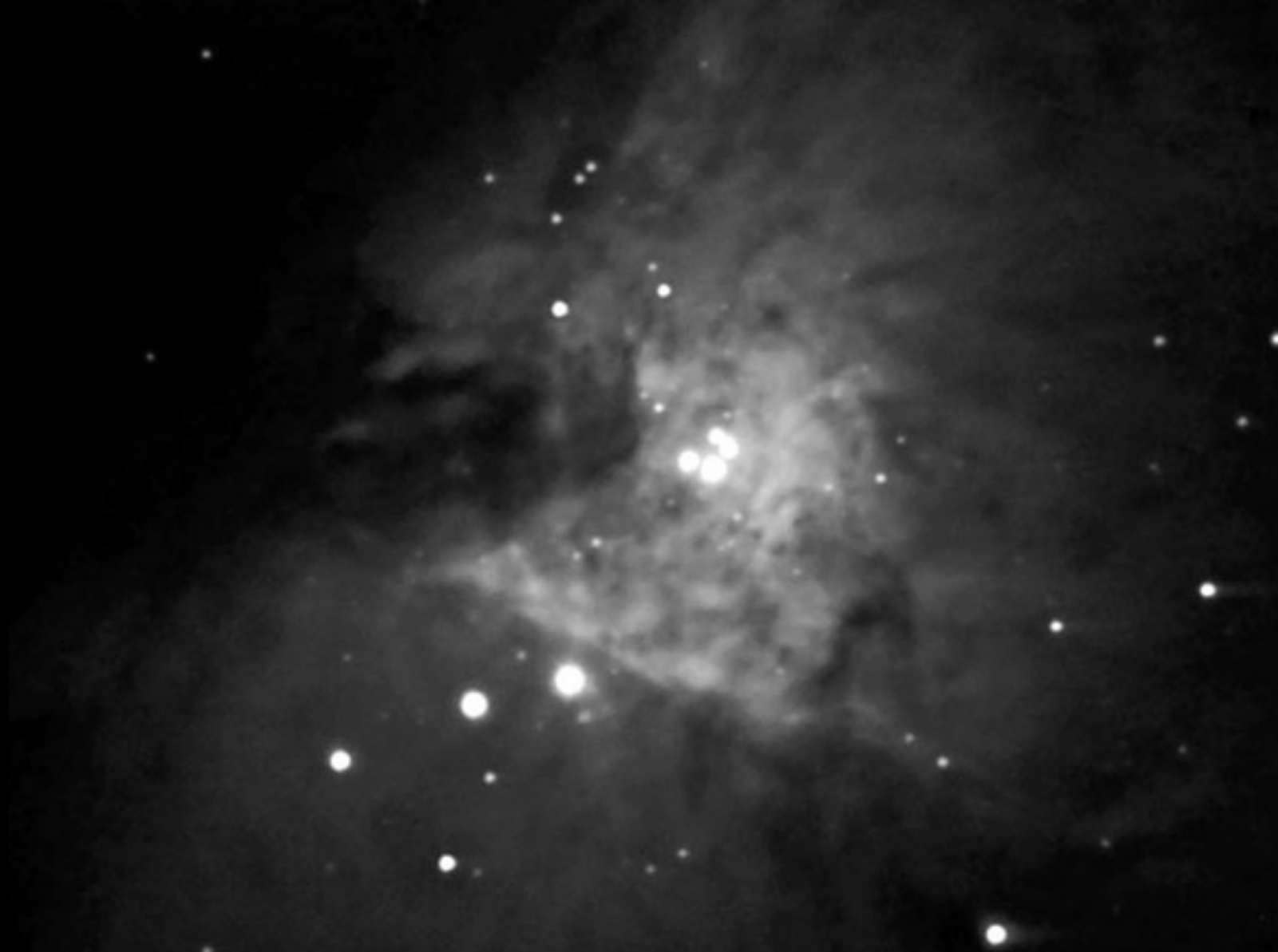


SCIENTIFIC  
COMPUTING  
LABORATORY



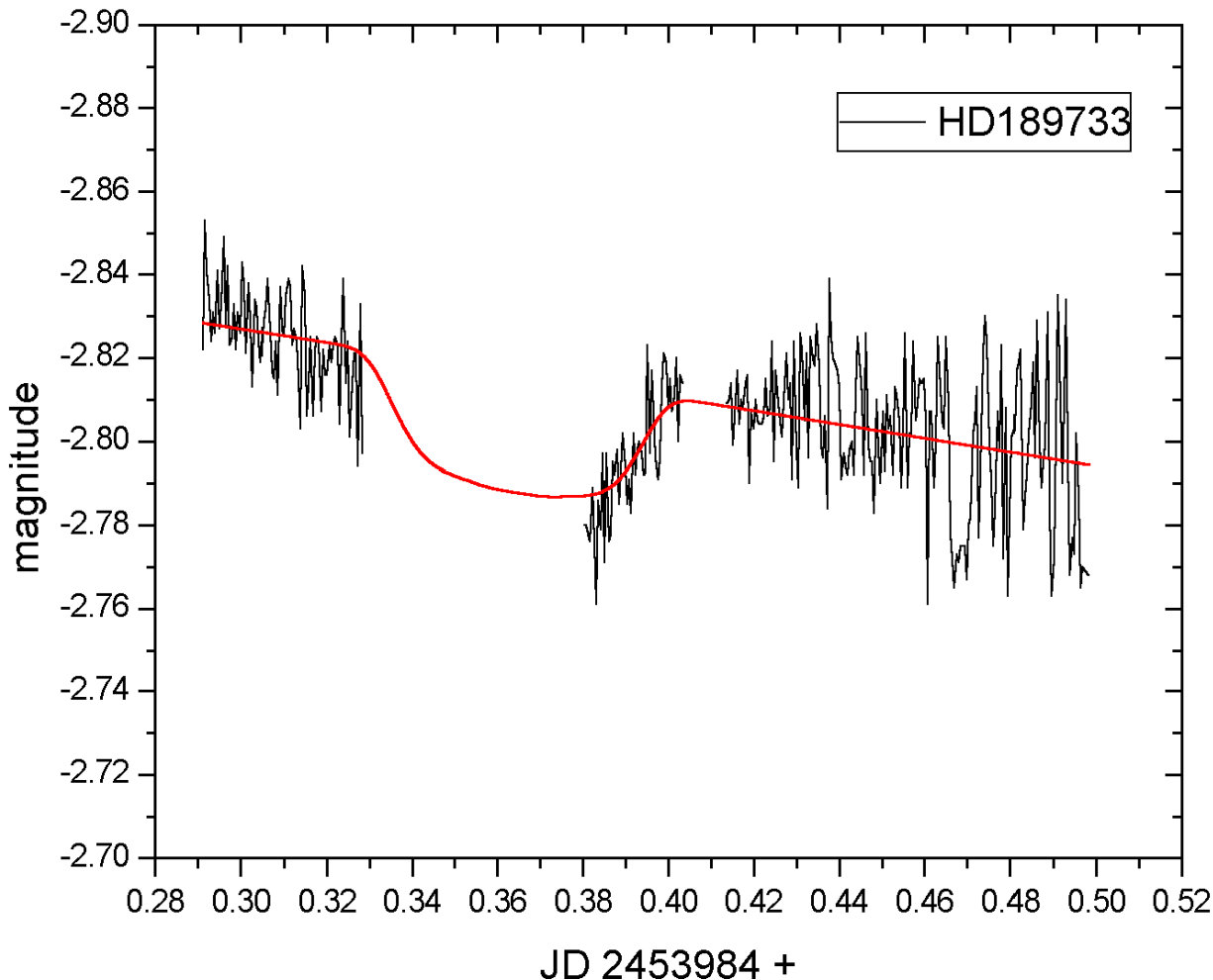


SCIENTIFIC  
COMPUTING  
LABORATORY



Orion Nebula, January 09, 2001  
10 × 5 sec exposures, R filter  
S-C, D=0.28m, f/6.5 + SBIG-ST7 camera  
Igor Smolic  
Wooden Observatory, Sremcica, Yugoslavia

# Detekcija HD189733b



# Kometa Lulin - HDR



# Kometa Lulin - HDR



# Vizuelni stimuli

